

超高速分子軌道計算専用機 MOE のアーキテクチャ

白川 暁[†] 吉井 卓[†] 村上和彰[†] 長嶋雲兵^{††} 小原 繁^{†††}
網崎孝志^{††††} 北村一泰^{†††††} 高島 一^{†††††} 田辺和俊^{†††††}

[†]九州大学 大学院システム情報科学研究科 ^{††}お茶の水女子大学 理学部

^{†††}北海道教育大学釧路校 教育学部 ^{††††}島根大学 総合理工学部

^{†††††}大正製薬株式会社 ^{††††††}物質工学研究所

E-mail: moe@hososipc.chem.ocha.ac.jp

あらまし 筆者らは、非経験的分子軌道計算を高速に行うことを目的として、超高速分子軌道計算専用機 MOE の開発を行っている。MOE では 2 電子積分値の独立性を利用して、これを並列実行することで高速化を図る。本論文では、MOE のアーキテクチャについて議論している。アーキテクチャ策定に際して、1) 並列化方式および 2) 積和表生成方式について検討を行った。並列化方式としては、演算量が問題サイズ n に対して n^4 あることから、 n , n^2 , n^3 , n^4 の 4 通りの並列化が可能である。これら各並列化方式の価格対性能比を評価した結果、 n 並列化を採用している。また、積和表生成方式については、各 PE で自立的にこれを生成する方式を採用した。さらに、本稿では、策定したアーキテクチャ、特に積和演算の部分について述べている。

キーワード 非経験的分子軌道計算, 専用計算機, 並列処理

The Architecture of a Molecular Orbital calculation Engine (MOE)

Satoru SHIRAKAWA[†] Takashi YOSHII[†] Kazuaki MURAKAMI[†]
Umpei NAGASHIMA^{††} Shigeru OBARA^{†††} Takashi AMISAKI^{††††}
Kunihiro KITAMURA^{†††††} Hajime TAKASHIMA^{†††††}
Kazutoshi TANABE^{††††††}

[†]Kyushu University ^{††}Ochanomizu University ^{†††}Hokkaido University of Education

^{††††}Shimane University ^{†††††}Taisho Pharmaceutical Co. Ltd.

^{††††††}National Institute of Materials and Chemical Reactions

Abstract The authors are developing a high-performance, special-purpose parallel machine for Molecular Orbital (MO) calculations, called MOE (Molecular Orbital calculation Engine). The sequential execution time is $O(n^4)$ where n is the number of basis functions, and most of the time is spent to the calculations of two-electron integrals. The calculations of two-electron integrals have a lot of parallelism of $O(n^4)$, and therefore the MOE tries to exploit the parallelism. This paper discusses the MOE architecture and examines two important aspects of architecture design: 1) how to exploit the parallelism, and 2) how to create a data structure, called *LABEL*, which is required to calculate two-electron integrals according to Obara's algorithm. The authors conclude that a n -way parallelization is the most cost-effective although there are lots of parallelism of $O(n^4)$. They also conclude that an MIMD operation is adequate to the creation of *LABEL*. The paper further describes the MOE architecture in detail.

key words molecular orbital calculations, special-purpose computers, parallel processing

1 はじめに

非経験的分子軌道計算は、問題サイズ (基底関数の数) の4乗に比例する計算量と記憶量を必要とする大規模なアプリケーションである。我々は、この分子軌道計算を高速に実行することを目標に専用並列計算機 MOE (Molecular Orbital calculation Engine) の開発を進めている [1]。

本稿では MOE のアーキテクチャについて述べる。まず、2章で MOE で行う計算内容について述べ、3章で MOE のアーキテクチャを検討する。そして、4章でアーキテクチャ、特に積和演算に関する部分について述べる。

2 MOE の計算内容

MOE はワークステーション、パソコンなどのホスト・コンピュータ (以下、HOST) に SCSI などのホスト・インターフェース (以下、HIF) を介して接続することにより HOST と協調して計算を行う。

非経験的分子軌道計算法として、ハートリーフォック (HF) 法 [4] を用いる。フォック行列の計算式は、

$$F_{rs} = T_{rs} + V_{rs} + \sum_{i=1}^n \sum_{u=1}^n P_{iu} \left\{ g_{rstu} - \frac{1}{2} g_{rtsu} \right\} \quad (1)$$

$(r, s = 1 \sim n)$

である。MOE で計算するのは上式の第3項で、これを F'_{rs} とする。 n は問題サイズで基底関数の数に等しい。 F'_{rs} を計算するためには P_{iu} および g_{rstu} が必要である。 $P_{iu} (i, u = 1 \sim n)$ は密度行列と呼ばれるもので HOST から送る。 g_{rstu} は2電子積分と呼ばれるもので MOE で計算する。

2電子積分 g_{rstu} の計算には、小原の方法 [2] を用いる。まず、2電子積分 g_{rstu} を計算するためには基底関数の情報が必要となる。この基底関数の情報は HOST から MOE に送られ、MOE はそれから A , B , 積和表 LABEL の3つの行列を生成する。この3つの行列を用いて g_{rstu} を計算する。 A , B , LABEL から g_{rstu} を計算するプログラムを図1に、概要を図2に示す。

先に A は基底関数の情報から生成すると述べたが、正確には A の先頭数行 (10 行程度) のみ (以下、 A_s) を基底関数の情報から生成する。 A の残りの部分は図1に示すプログラムにより求め、 A の末尾 10~100 行程度 (以下、 A_f) が g_{rstu} になる (g_{rstu} は $r, s, t, u = 1 \sim n$ であるので n^4 個存在するが、ある一つの g_{rstu} は 10 ~ 100 個の要素から成る)。行列 A の列方向のインデックス L は g_{rstu} の添字 $rstu$ によって一意に決まる。つまり、 A_f のある一列の要素はある特定の $rstu$ に対する g_{rstu} になる。以下、行列 A の1列を表すとき $A(rst, L)$ と書く。行列 B も同様である。 A_f の計算は次式を $n^4 \times NN$ 回行うことにより終了する。

$$A(I, L) = A(I, L) + B(J, L) \times A(K, L) \quad (2)$$

```

DO 200 M=1, NN
  I=LABEL(1,M)
  J=LABEL(2,M)
  K=LABEL(3,M)
  DO 100 L=1,N
    A(I,L)=A(I,L)+B(J,L)*A(K,L)
  200 CONTINUE

```

図 1: 2 電子積分計算のプログラム

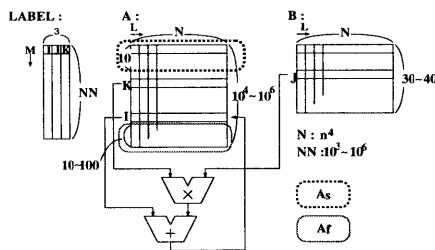


図 2: 2 電子積分計算の概要

MOE では、複数個の PE (Processing Element) を用いて上式の計算を並列に行うことにより計算の高速化を図る。PE の個数を p とし上式の計算を 1 回行うのに 1 ステップかかるかすると、 A_f の計算は $n^4/p \times NN$ ステップで行うことができる。

結局、MOE で行う計算部分の処理の流れをまとめると以下ようになる。1) 入力データ (基底関数の情報、密度行列 P) を HOST から受信、2) 基底関数の情報から A_s , B , LABEL を生成、3) A_s , B , LABEL から A_f (2 電子積分値に等しい) を計算、4) 2 電子積分値と密度行列 P から F'_{rs} を計算、5) F'_{rs} を HOST へ送信。

3 アーキテクチャの検討

前章で述べた処理の内、次の2つはアーキテクチャの策定に際して十分検討する必要がある。

- 並列化方式: 式2で示した A_f の計算をどう並列化するのか?
- LABEL 生成方式: LABEL 生成は単純な積和演算では行えないので、これをどう行うのか?

3.1 並列化方式

2電子積分 g_{rstu} を複数個の PE により並列に計算する。このとき、 g_{rstu} をどのように PE に割り当てるかが重要になってくる。また、個々の g_{rstu} がどの F'_{rs} に寄与するかについても注意する必要がある。そこで、『添字 $rstu$ の内、どの添字について並列化するか』について検討する。並列化に際しては、以下の16種類の選択肢が存在する。

- 逐次処理 (1 種類)
- n^4 並列処理: $rstu$ の全添字について並列化 (1 種類)
- n^3 並列処理: rst , rsu , rtu , stu の3添字についてそれぞれ並列化 (計4種類)
- n^2 並列処理: rs , rt , ru , st , su , tu の2添字についてそれぞれ並列化 (計6種類)
- n 並列処理: r , s , t , u の1添字についてそれぞれ並列化 (計4種類)

F'_{rs} の計算に要する計算時間およびメモリ量を比較する。計算時間は積和演算の回数で表し、メモリ量は記憶すべきデータの個数で表す。1 個の g_{rstu} の計算には、 G 回の積和演算および W 個のデータ領域を必要とするものと仮定する。十分な数の PE があると仮定して、プログラム中

の forall の各イタレーションに対して1個の PE を割り当てる。

以下に、逐次処理方式および添字 r に関する n 並列化方式のアルゴリズム、計算時間およびメモリ量を示す。

逐次処理方式

```

for r
  for s
    for t
      for u
         $g_{rstu}$  計算
         $F'_{rs} := F'_{rs} + P_{tu} * g_{rstu}$ 
         $F'_{rt} := F'_{rt} - 1/2 * P_{su} * g_{rstu}$ 
      forend
    forend
  forend
forend

```

最内ループの積和回数が $G + 2$ 回であり、それが n^4 回繰り返されるので計算時間は $n^4(G + 2)$ となる。また、 g_{rstu} の計算の作業領域が W 個、 $F'_{rs}(r, s = 1 \sim n)$ が n^2 個、 $P_{tu}(t, u = 1 \sim n)$ が n^2 個それぞれ必要なので、メモリ量は $W + n^2 + n^2$ となる。

$n(r)$ 並列処理方式

```

forall r
  for s
    for t
      for u
         $g_{rstu}$  計算
         $F'_{rs} := F'_{rs} + P_{tu} * g_{rstu}$ 
         $F'_{rt} := F'_{rt} - 1/2 * P_{su} * g_{rstu}$ 
      forend
    forend
  forend
forallend

```

計算時間は $n^3(G + 2)$ 、メモリ量は全体で $n(W + n + n^2)$ となる。

3.1.1 検討結果

表 1 に全ての並列化方式の検討結果を示す。各方式の価格対性能比を「PE 数×計算時間」で見える。逐次処理方式で $n^4(G + 2)$ 、 n^4 並列処理方式では $n^5(G + 2) + 2n^6$ 、 n^3 並列処理方式では最低で $n^4(G + 4)$ 、 n^2 並列処理方式では最低で $n^4(G + 2) + n^3$ 、そして n 並列処理方式では最低で $n^4(G + 2)$ となる。これから、 $n(r)$ 方式が最も価格対性能比として優れていることがわかる。一方、メモリ量に関しては、実用的な問題サイズから $W = O(10^6)$ 、 $n = O(10^3)$ と仮定した場合、各方式とも $O(10^6)$ となりほぼ互角である。以上から、 $n(r)$ 方式を並列化方式として採用することにする。

3.2 LABEL 生成方式

LABEL は 2 電子積分とは異なり、単純な積和演算では生成できない。したがって、LABEL 生成可能な機能をどこに設けるかが課題となる。さらに、LABEL は積分のタイプによって異なる¹ので、各 PE が必要とする LABEL は等しくはない。そこで、以下の 3 つの LABEL 生成方式について、メモリ量、データ転送量および処理時間を比較する。

- α 案: ある PE が親 PE となり、その親 PE が全ての type の LABEL を生成してそれを全ての子 PE に一括転送。子 PE はそれを確保しておいて必要な LABEL を使う。

¹ 積分のタイプはその積分で用いる基底関数の種類によって決まる。例えば r が s 関数、 s が p 関数、 t が p 関数、 u が s 関数ならばタイプは $spps$ となる。

- β 案: 親 PE が全ての type の LABEL を生成して、子 PE 毎に必要なとするタイプの LABEL だけを分割して転送する。

- γ 案: (PE には親も子もなく) 各 PE が自分で LABEL を生成する。

以下に、各案のアルゴリズムを示す。

α 案

親が LABEL 生成

```

forall r
  基底関数の情報 受信 /* O(n) */
  LABEL 受信 /* (10MB) */
   $A_s(rstu), B(rstu)$  生成 /* step1 O(n^2) */
  for u=1~n
    for t=1~n
      for s=1~n
         $P_{tu}, P_{su}$  受信
         $A_s(rstu), B(rstu)$  生成 /* step2 O(1) */
        for i=1~NN /* NN は (rstu) に依存 */
           $A(rstui), B(rstui)$  の積和
        forend
         $g_{rstu} :=$  積和結果
         $F'_{rs} := F'_{rs} + P_{tu} * g_{rstu}$ 
         $F'_{rt} := F'_{rt} - 1/2 * P_{su} * g_{rstu}$ 
      forend
    forend
  forend
forallend

```

β 案

親が LABEL 生成

```

forall r
  基底関数の情報 受信 /* O(n) */
   $A_s(rstu), B(rstu)$  生成 /* step1 O(n^2) */
  for u=1~n
    for t=1~n
      for s=1~n
        LABEL 受信 /* (1MB) */
         $P_{tu}, P_{su}$  受信
         $A_s(rstu), B(rstu)$  生成 /* step2 O(1) */
        for i=1~NN /* NN は (rstu) に依存 */
          — 以下、 $\alpha$ 案と同じ —

```

γ 案

```

forall r
  基底関数の情報 受信 /* O(n) */
   $A_s(rstu), B(rstu)$  生成 /* step1 O(n^2) */
  for u=1~n
    for t=1~n
      for s=1~n
         $P_{tu}, P_{su}$  受信
         $A_s(rstu), B(rstu)$  生成 /* step2 O(1) */
        LABEL 生成
        for i=1~NN /* NN は (rstu) に依存 */
          — 以下、 $\alpha$ 案と同じ —

```

3.2.1 検討結果

上で述べた 3 つの案において LABEL の転送量およびメモリ量について比較を行う。表 2 に比較結果を示す。表 2 において α 案および β 案では LABEL が、 γ 案では基底関数の情報が転送の対象となっている。また、 α 案および γ 案で PE 当りの転送量と全体の転送量が変わらないのは、対象となるデータが各 PE にブロードキャスト可能なためである。また、 L というのは子 PE が使う LABEL のタイプが変化した回数を表し、最低で 0、最大でタイプの総数となる。

次に、各案の処理時間を比較する。図 3, 4, 5 に各案の処理の流れをそれぞれ示す。図中の横軸は時間を示しており、通信の場合は転送データ数で、計算の場合は積和演算

表 1: 各並列化方式の評価

方式	PE数	計算時間†	1PE 当りのメモリ量‡	全体のメモリ量‡
逐次処理	1	$n^4(G+2)$	$W+2n^2$	$W+2n^2$
n^4 並列処理	n^4	$n(G+2)+2n^2$	$W+4$	$n^4(W+4)$
$n^3(r, s, t)$ 並列処理	n^3	$n(G+4)$	$W+2+2n$	$n^3(W+2+2n)$
$n^3(r, s, u)$ 並列処理	n^3	$n(G+3)+2n^2$	$W+1+2n$	$n^3(W+1+2n)$
$n^3(r, t, u)$ 並列処理	n^3	$n(G+3)+2n^2$	$W+1+2n$	$n^3(W+1+2n)$
$n^3(s, t, u)$ 並列処理	n^3	$n(G+2)+2n^2$	$W+2+2n$	$n^3(W+2+2n)$
$n^2(r, s)$ 並列処理	n^2	$n^2(G+2)+2n$	$W+1+n+n^2$	$n^2(W+1+n+n^2)$
$n^2(r, t)$ 並列処理	n^2	$n^2(G+2)+2n$	$W+1+n+n^2$	$n^2(W+1+n+n^2)$
$n^2(r, u)$ 並列処理	n^2	$n^2(G+2)+n$	$W+2n$	$n^2(W+2n)$
$n^2(s, t)$ 並列処理	n^2	$n^2(G+2)+2n$	$W+4n$	$n^2(W+4n)$
$n^2(s, u)$ 並列処理	n^2	$n^2(G+3)+n$	$W+2n+n^2$	$n^2(W+2n+n^2)$
$n^2(t, u)$ 並列処理	n^2	$n^2(G+3)+n$	$W+2n+n^2$	$n^2(W+2n+n^2)$
$n(r)$ 並列処理	n	$n^3(G+2)$	$W+n+n^2$	$n(W+n+n^2)$
$n(s)$ 並列処理	n	$n^3(G+2)+n^2$	$W+n+2n^2$	$n(W+n+2n^2)$
$n(t)$ 並列処理	n	$n^3(G+2)+n^2$	$W+n+2n^2$	$n(W+n+2n^2)$
$n(u)$ 並列処理	n	$n^3(G+2)+n^2$	$W+n+n^2$	$n(W+n+n^2)$

†: 積和演算回数. ‡: データ数.

表 2: LABEL についてのメモリおよび転送量の比較

項目	α案	β案	γ案
1 回当りの転送量/PE	10^6	10^5	n
転送の回数/PE	1	$L+1$	1
転送量/PE	10^6	$(L+1)10^5$	n
全体の転送量	10^6	$n(L+1)10^5$	n
メモリ量/PE	10^6	10^5	10^5
全体のメモリ量	$n10^6$	$n10^5$	$n10^5$

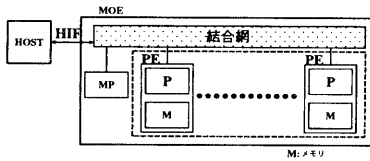


図 6: システム構成

回数でこれを表す。ここでデータ 1 個の転送時間と積和 1 回の計算時間は等しいとする。

$$\alpha\text{案 } L_a + 10^7 + n + O(n^2) + n^3(O(1) + NN + 2) + n$$

$$\beta\text{案 } L_a + 10^6 * (L+1) + n + O(n^2) + n^3(O(1) + NN + 2) + n$$

$$\gamma\text{案 } n + O(n^2) + n^3(O(1) + NN + 2) + L_s * (L+1) + n$$

L_a は全てのタイプの LABEL を生成するのに要する時間、 L_s はある 1 つのタイプの LABEL を生成するのに要する時間をそれぞれ表す。

支配的な項 (n^3 の項) の係数が 3 案とも全て等しいので、処理時間はほぼ同等と言える。よって、転送量およびメモリ量をもっとも少ないことから γ 案が他の 2 案よりも優れている。したがって、MOE では γ 案を採用する。

4 MOE のアーキテクチャ

図 6 に、MOE のシステム構成を示す。これは以下の特徴を有する。

- 各 PE は自律して動作する (MIMD)。採用した γ 案の計算の流れにおいて、for i ループの回数 NN が積分のタイプ ($rstu$) に依存するので各 PE でループ回数が増える。したがって、全 PE を SIMD で動作させることはできない。
- PE 1 クラスタが 1 つの密度行列 P 用のメモリ (以下、MP) を共有する。PE が SIMD で動くのであれば、各 PE が P_{tu} (密度行列 P の 1 要素) を必要とするタイミングは等しく、 P_{tu} を各 PE にブロードキャストすることができる。しかし、PE は MIMD であるので各 PE が P_{tu} を必要とするときに MP から読み出す方式を採ることにする。PE は MIMD で動くのでアクセスのタイミングが PE 間でずれやすいこと、ならびに、ループの 1 イタレーションが長いにも関わらず P_{tu} はその間に 2 個しか必要でないことから、MP の応答速度はそれほど高速でなくても構わない。
- ローカル・メモリ M には高速な SRAM を、MP には大容量の DRAM を使用する。
- 結合網は以下の 4 つの機能を有する。PE 間の通信は全く行う必要がないので、そのための機能は備えない。

1. ホスト・インターフェース (HIF) から PE へのブロードキャスト: 基底関数の情報 ($O(n)$) の転送に使用。
2. PE から HIF への 1 対 1 通信: $F'_{rs} (s = 1 \sim n) (O(n))$ の転送に使用。
3. PE から MP への読出しアクセス: $P_{tu} (O(1))$ の転送に使用。
4. HIF から MP への書込みアクセス: $P_{tu} (t = 1 \sim n, u = 1 \sim n) (O(n^2))$ の転送に使用。

- PE の持つべき機能は $A_s, B, LABEL$ 生成および積和演算機能である。

4.1 PE アーキテクチャ

図 7 に PE のアーキテクチャを示す。命令セットは以下の通りである。

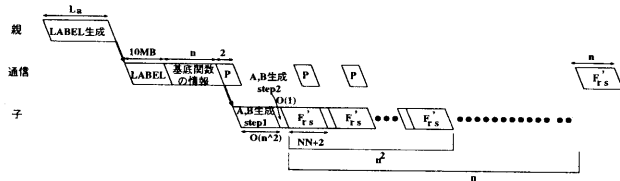


図 3: α 案の処理の流れ

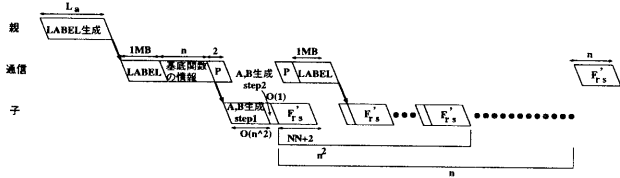


図 4: β 案の処理の流れ

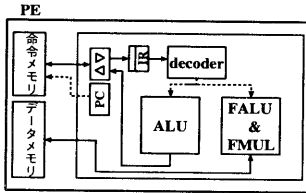


図 7: PE のアーキテクチャ

1. LOAD/STORE 命令 (命令メモリ, データメモリ, MP および HIF にアクセス)
2. 整数演算命令 (レジスタ-レジスタ演算)
3. 浮動小数点積和演算命令 (メモリ-メモリ演算)
4. 分岐命令

上記1および2は主に LABEL 生成に使い, 3は $A_s(rstu)$ および $B(rstu)$ の生成, LABEL をプログラムにした積和演算および F'_{rs} の計算に使う.

4.2 LABEL をプログラムとした 2 電子積分計算

浮動小数点積和演算命令は, 以下の 3 オペランド形式のメモリ-メモリ演算命令である.

$$opI, J, K$$

op には以下の 4 種類がある.

- LOAD and MUL and ADD (LMA)
- MUL and ADD (MA)
- MUL and ADD and STORE (MAS)
- LOAD and MUL and ADD and STORE (LMAS)

表 3 にその動作を示す.

2 電子積分計算プログラムは, 図 8 に示すような LABEL の形を採る. 図 9 にその実行過程を示す. 図 9 では, 命令メモリ (IMEM) およびデータ・メモリ (DMEM) のメモ

表 3: 浮動小数点積和演算命令の動作

動作	浮動小数点積和演算命令			
	LMA	MA	MAS	LMAS
LOAD $R_i \leftarrow M(I)$	1			1
LOAD $R_j \leftarrow M(J)$	1	1	1	1
LOAD $R_k \leftarrow M(K)$	1	1	1	1
MUL $tmp1 \leftarrow R_i \times R_k$	2	2	2	2
ADD $tmp2 \leftarrow R_i + tmp1$	3			3
ADD $tmp2 \leftarrow tmp2 + tmp1$		3	3	
STORE $M(I) \leftarrow tmp2$			4	4

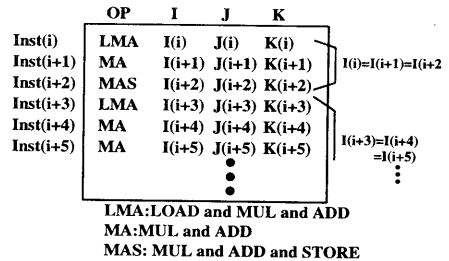


図 8: 2 電子積分計算プログラム

リ・アクセス・レイテンシは 1 クロック・サイクル時間, FMUL の命令発行レイテンシは 1 クロック・サイクル時間, パイプライン段数は 3, FADD の演算レイテンシは 2 クロック・サイクル時間と仮定した.

図 8 に示すように, 2 電子積分計算は通常, LMA1 回 \rightarrow MA 数回 \rightarrow MAS1 回の繰り返しによって実行される.

図 9 から命令 Inst(i) と命令 Inst(i+1) との間の発行レイテンシ il_i は

$$il_i = \max\{MAC_i * rl_{Mem}, il_{FMUL}, rl_{FADD}\} \quad (3)$$

となる. ここで,

MAC_i : 命令 Inst(i) の行うメモリ・アクセス回数で, 2~4.
 rl_{Mem} : データ・メモリのアクセス・レイテンシ.

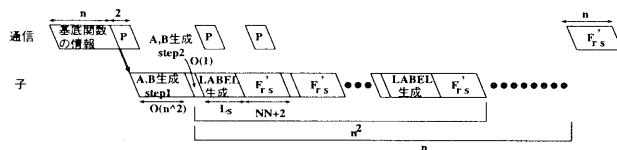


図 5: γ 案の処理の流れ

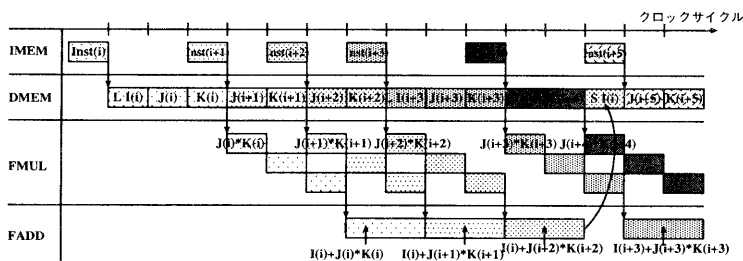


図 9: 2 電子積分計算プログラムの実行過程

il_{FMUL} : FMUL の発行レイテンシ.
 rl_{FADD} : FADD の演算レイテンシ.

il_{FMUL} は FMUL をパイプライン化することで低減できるので、上式で支配的なのは $MAC_i * rl_{Mem}$ か rl_{FADD} のどちらかである。 $rl_{FADD} = 60ns$ の製品が実際に存在する。また $rl_{Mem} = 20ns$ の SRAM が実際に存在し $MAC_i * rl_{Mem} = 40 \sim 80ns$ となる。このことから、 $MAC_i * rl_{Mem}$ と rl_{FADD} のどちらを支配的にするかは、速度だけでなくハードウェア・コストも考慮して決定しなければならない。

4.3 メモリ・マップ

図 10 に命令メモリのプログラム配置、データ・メモリのデータ配置および MP のデータ配置を示す。命令メモリの opI, J, K 部分は LABEL に相当し、 LABEL 生成部分を実行することで生成される。

命令長 8 バイト²、 $NN = O(10^4)$ 、 $o, p \ll NN$ とすると、命令メモリの容量は $(o+p+NN+2+1) * (\text{命令長}) = O(100)K$ バイトになる。

データ・メモリの容量は基底関数の数 $n = 1000$ 、データ長 8 バイトとすると $8 * (O(n) + 2 + 100 + 10 + 10^4 + n) = O(100)K$ バイト程度になる。

上記から各 PE 当りのローカル・メモリは命令、データ合わせて 1MB あれば十分であるので SRAM を使用する。

一方、MP の容量は、基底関数の数 $n = 1000$ 、データ長 8 バイトとすると $8 * (n^2) = O(10)M$ バイト程度と大容量になる。そこで、MP にはそれほど高速な応答速度が要求されないことから大容量の DRAM を使用する。

5 おわりに

以上、我々が開発中の MOE のアーキテクチャについて述べた。現在、本稿で述べた PE アーキテクチャに基づいて、これをメモリ混載型 ASIC で実現することを検討している。また、実用レベル規模の問題サイズにおける本並

²命令長は $\log(op \text{ 数}) + \log(\text{データ・メモリの語数}) * 3$ ビット。 $op \text{ 数} = 4$ 、データ・メモリの語数 $= O(10K)$ なので、命令長 $= \log 4 + \log(10K) * 3 =$ 約 44 ビットとなる。ここでは余裕を持たせて命令長 8 バイトとした。

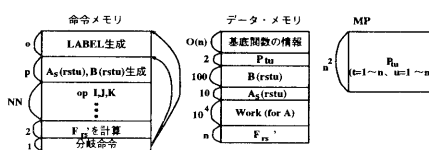


図 10: メモリ・マップ

列計算アルゴリズムの動的挙動を解析して、その結果を MOE アーキテクチャに反映することを目的として、MOE プロトタイプを作製している。本 MOE プロトタイプは、100 台規模の PC クラスタとなる予定である。

謝辞 本研究の一部は、科学技術振興調整費「第一原理計算手法に基づくシミュレーション技術に関する研究」、産業技術情報基盤研究開発「ヘテロジニアスネットワークコンピュータ環境における分子シミュレーションシステムの構築」、提案公募型・最先端分野研究開発「分子集合体の構造：ab initio 分子動力学を用いた高速プログラムの開発」、文部省科学研究費試験研究 B「非経験的分子軌道計算の超高速化に関するハードウェア及びソフトウェアの開発」に基づくものである。

参考文献

- [1] 長嶋雲兵, 小原 繁, 村上和彰, 吉井 卓, 白川 暁, 網崎孝志, 北村一泰, 高島 一, 田辺和俊, “超高速分子軌道計算専用機 MOE の開発”, 情処研報, ARC-117-16, pp.89-94, 1996 年 3 月.
- [2] S. Obara and A. Saika, “General recurrence formulas for molecular integrals over Cartesian Gaussian functions”, J.Chem.Phys. Vol.98 NO.3, Aug 1988.
- [3] 小原繁, “分子積分と電子相関”, 第 32 回分子科学 夏の学校, 1992 年.
- [4] 兵頭志明, 福田敦勇, “分子軌道法”, 豊田中央研究所 R&D レビュー Vol.21 NO. 3/4, 1987 年 1 月.